



Laboratorium EMVO Sp. J. I

ul. Jasna 1  
00-013 Warszawa

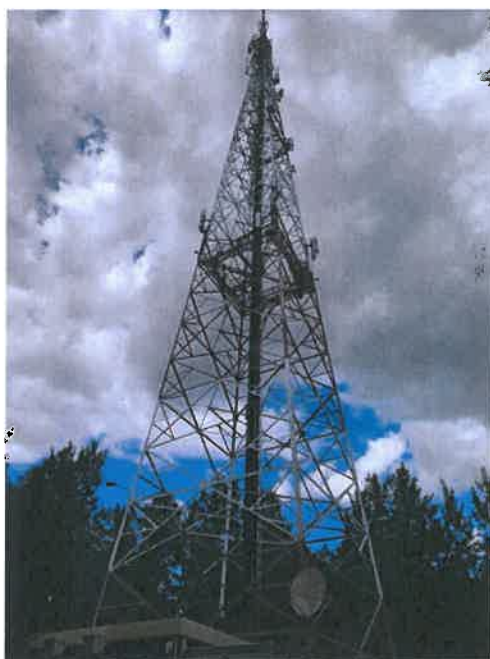
tel. +48 22 780 29 64

e-mail: laboratorium@emvo.pl



AB 1630

## Sprawozdanie z pomiarów pól elektromagnetycznych - środowisko ogólne nr 55/08/OŚ/2022-P4-W



|                   |  |
|-------------------|--|
| Nr i nazwa stacji | CIE3308A   |
| Adres             | Ciechanów, ul. Monte Cassino, istniejąca wieża RSTV  |
| Opracowanie       | Specjalista ds. pomiarów   |
| Autoryzacja       | Kierownik Laboratorium   |
| Podpis            | Podpis jest prawidłowy<br>Dokument podpisany przez<br>Data: 2022.08.12 15:33:20<br>Powód: Zatwierdzam dokument |
| Data              | 2022-08-09   |

## Spis treści

|  |   |
|--|---|
| 1. Informacje ogólne. ....   | 3 |
| 2. Podstawa prawna. ....   | 3 |
| 3. Opis pomiarów ....  | 3 |
| 4. Zróżnicowanie dopuszczalne poziomy pól elektromagnetycznych. .... | 3 |
| 5. Charakterystyka źródeł PEM. ....                                  | 5 |
| 6. Wyniki pomiarów. ....   | 5 |
| 7. Stwierdzenie zgodności ....                                       | 6 |
| 8. Oświadczenie. ....  | 7 |
| 9. Spis załączników. ....  | 7 |

## 1. Informacje ogólne.

|   |   |
|---|---|
| Zleceniodawca   | P4 Sp. z o.o., ul. Wynałazek 1, 02-677 Warszawa<br>osoba udzielająca informacji – I               |
| Istotne informacje dostarczone przez klienta                            | komplet informacji niezbędnych do wykonania pomiarów i opracowania sprawozdania                   |
| Dane otrzymane od klienta mogące mieć wpływ na ważność wyników          | dane anten sektorowych, dane anten radioliniowych, parametry pracy instalacji, poprawka pomiarowa |
| Prowadzący instalację   | P4 sp. z o.o., ul. Wynałazek 1, 02-677 Warszawa   |
| Lokalizacja obiektu   | Ciechanów, ul. Monte Cassino, istniejąca wieża RSTV   |
| Miejsce instalacji anten  | wieża kratowa   |
| Miejsce instalacji urządzeń   | outdoor   |
| Osoby wykonujące pomiar   | I   |
| Data wykonania pomiaru  | 2022-08-09  |
| Godzina rozpoczęcia pomiaru   | 17.30   |
| Godzina zakończenia pomiaru   | 20.20   |
| Temperatura na początku pomiaru [°C]                                    | 23  |
| Temperatura na koniec pomiaru [°C]                                      | 22  |
| Warunki atmosferyczne   | brak opadów   |
| Wilgotność na początku pomiaru [%]                                      | 46  |
| Wilgotność na koniec pomiaru [%]  | 48  |
| Inne źródła pól elektromagnetycznych oznaczone na załączniku graficznym | występują   |
| Parametry pracy instalacji  | tryb eksploatacyjny   |

## 2. Podstawa prawna.

### 2.1 Normy i rozporządzenia:

- Rozporządzeniem Ministra Klimatu z dnia 17 lutego 2020 r. w sprawie sposobów sprawdzania dotrzymania dopuszczalnych poziomów pól elektromagnetycznych w środowisku (Dz.U. 2020 poz. 258)
- Rozporządzenie Ministra Zdrowia z dnia 17 grudnia 2019 r. w sprawie dopuszczalnych poziomów pól elektromagnetycznych w środowisku (Dz.U. 2019 poz. 2448)
- Obwieszczenie Marszałka Sejmu Rzeczypospolitej Polskiej z dnia 19 lipca 2019 r. w sprawie ogłoszenia jednolitego tekstu ustawy - Prawo ochrony środowiska (Dz.U. 2019 poz. 1396)
- Rozporządzenie Ministra Klimatu i Środowiska z dnia 6 maja 2022 r. zmieniające rozporządzenie w sprawie sposobów sprawdzania dotrzymywania dopuszczalnych poziomów pól elektromagnetycznych w środowisku (Dz.U. 2022 poz. 1121).

## 3. Opis pomiarów

**Metodologia pomiarowa** Pomiary w oparciu o Rozporządzeniem Ministra Klimatu z dnia 17 lutego 2020 r. w sprawie sposobów sprawdzania dotrzymania dopuszczalnych poziomów pól elektromagnetycznych w środowisku (Dz.U. 2020 poz. 258) oraz Rozporządzenie Ministra Klimatu i Środowiska z dnia 6 maja 2022 r. zmieniające rozporządzenie w sprawie sposobów sprawdzania dotrzymywania dopuszczalnych poziomów pól elektromagnetycznych w środowisku (Dz.U. 2022 poz. 1121).

**Cel badań** Określenie wartości natężenia pola elektrycznego w miejscach dostępnych dla ludności.

„Bez pisemnej zgody Laboratorium niniejsze sprawozdanie nie może być powielane inaczej, jak tylko w całości. Ponadto wyniki dotyczą tylko badanych obiektów przywołanych w niniejszym sprawozdaniu z badań”

|   |   |
|---|---|
| Opis zestawu pomiarowego                        | <p>Miernik Narda NBM 520, Sonda EF 9091, o zakresie pomiarowym 0,7 V/m - 400V/m pracująca w paśmie 0,1 – 90 GHz, świadectwo wydane przez Laboratorium Wzorców i Metrologii Pola Elektromagnetycznego, Instytut Telekomunikacji, Teleinformatyki i Akustyki Politechniki Wrocławskiej. Świadectwo ważne do 13.07.2023 r.</p> <p>Miernik Narda NBM 520, Sonda EF 9091 pracująca w zakresie temperatury -10°C - +50°C oraz wilgotności 5% - 95%.</p> <p>Niepewność rozszerzona 59,4% przy poziomie ufności 95% z uwzględnieniem współczynnika rozszerzenia k=2.</p>  |
| Wypożyczenie pomocnicze                         | <p>Termohigrometr Termoprodukt, typ: Termik+, nr identyfikacyjny 700618, świadectwo wzorcowania nr 1763/AH/19 z dn. 29.07.2019 r. wydane przez Laboratorium Pomiarowe "MUTECH".</p> <p>Przymiar wstęgowy STABILA, nr identyfikacyjny 31WŁ, świadectwo wzorcowania nr 6W1/1826/19 z dn. 02.08.2019 r. wydane przez Dyrektora Okręgowego Urzędu Miar w Gdańsku.</p> <p>GPS Garmin 64s okresowo sprawdzany w punktach osnowy geodezyjnej klasy 3 na podstawie licencji punktu, zgodnie z procedurą sprawdzeń okresowych IS/PO16-11/03.</p>   |
| Pomiary zostały wykonane                        | <ol style="list-style-type: none"> <li>na głównych i pomocniczych kierunkach pomiarowych, na kierunkach zbliżonych do azymutów anten oraz w dodatkowych pionach pomiarowych zgodnie z wymaganiami pkt 12, 13, 14 i 19 Rozporządzenia Ministra Klimatu z dnia 17 lutego 2020 r. (Dz. U. 2020, poz. 258) oraz Rozporządzenia Ministra Klimatu i Środowiska z dnia 6 maja 2022 r. zmieniającego rozporządzenie w sprawie sposobów sprawdzania dotrzymywania dopuszczalnych poziomów pól elektromagnetycznych w środowisku (Dz.U. 2022 poz. 1121).</li> <li>na obszarze pomiarowym, dla którego, na podstawie uprzednio przeprowadzonych obliczeń stwierdzono w miejscach dostępnych dla ludności występowanie pól elektromagnetycznych o najwyższym poziomie, które pochodzą z badanej instalacji zgodnie z wymaganiami pkt 5 ppkt 2 oraz pkt 13 ppkt 1 Rozporządzenia Ministra Klimatu z dnia 17 lutego 2020 r. w sprawie sposobów sprawdzania dotrzymywania dopuszczalnych poziomów pól elektromagnetycznych w środowisku (Dz. U. 2020, poz. 258) oraz Rozporządzenia Ministra Klimatu i Środowiska z dnia 6 maja 2022 r. zmieniającego rozporządzenie w sprawie sposobów sprawdzania dotrzymywania dopuszczalnych poziomów pól elektromagnetycznych w środowisku (Dz.U. 2022 poz. 1121). Wyniki obliczeń nie uwzględniały parametrów pracy instalacji innych operatorów występujących na obiekcie bądź w obszarze pomiarowym.</li> <li>w miejscach dostępnych dla ludności.</li> <li>miejsca niedostępne podczas wykonywania pomiarów wskazane zostały w pkt 6 (tabeli wyniki pomiarów).</li> </ol> |
| Szczególne warunki podczas wykonywania pomiarów | Pomiary wykonane zostały podczas obowiązywania w kraju stanu zagrożenia epidemicznego, zgodnie z art. 122a ust. 1b Ustawy z dnia 27 kwietnia 2001 r. – Prawo ochrony środowiska (Dz. U. z 2019 r. poz. 1396, z późn. zm.9))   |
| Warunki pracy urządzeń nadawczych               | Tryb pracy eksploatacyjny.  |

#### 4. Zróżnicowanie dopuszczalne poziomy pól elektromagnetycznych.

Zgodnie z informacją otrzymaną od Klienta pomiary zostały wykonane przy ustawieniach pochylecia anten zgodnych z pkt. 13, ppkt 2 Rozporządzenia Ministra Klimatu z dnia 17 lutego 2020 roku.

| Zakres częstotliwości pola elektromagnetycznego | Parametr fizyczny            |                              |                                    |
|---|------------------------------|------------------------------|------------------------------------|
|   | Składowa elektryczna E (V/m) | Składowa magnetyczna H (A/m) | Gęstość mocy S (W/m <sup>2</sup> ) |
| od 400 MHz do 2000 MHz                          | $1,375 \times f^{0,5}$       | $0,0037 \times f^{0,5}$      | f / 200                            |
| od 2 GHz do 300 GHz                             | 61                           | 0,16                         | 10                                 |

## 5. Charakterystyka źródeł PEM.

Zgodnie z informacją otrzymaną od klienta pomiary zostały wykonane przy ustawieniach pochylenia anten zgodnych z pkt. 13, ppkt 2 załącznika do rozporządzenia Ministra Klimatu z dnia 17 lutego 2020 roku.

Tabela 1. Anteny sektorowe - dane otrzymane od klienta

| Charakterystyka promieniowania  |  | kierunkowa                        |       |       |                  |       |            |                  |       |       |                  |            |       |                  |       |       |       |  |  |
|---------------------------------|--|-----------------------------------|-------|-------|------------------|-------|------------|------------------|-------|-------|------------------|------------|-------|------------------|-------|-------|-------|--|--|
| Rzeczywisty czas pracy [h/dobę] |  | 24                                |       |       |                  |       |            |                  |       |       |                  |            |       |                  |       |       |       |  |  |
| Rodzaj wytwarzanego pola        |  | stacjonarne                       |       |       |                  |       |            |                  |       |       |                  |            |       |                  |       |       |       |  |  |
| Lp.                             | Wyszczególnienie   | sektor 1                          |       |       |                  |       | sektor 2   |                  |       |       |                  | sektor 3   |       |                  |       |       |       |  |  |
| I                               | Nadajnik stacji bazowej:                                       |                                   |       |       |                  |       |            |                  |       |       |                  |            |       |                  |       |       |       |  |  |
| 1                               | Typ / Producent  | DBS/RBS / Overlay Huawei/Ericsson |       |       |                  |       |            |                  |       |       |                  |            |       |                  |       |       |       |  |  |
| 2                               | Częstotliwość (pasmo) MHz                                      | 2600                              | 800   | 2100  | 1800             | 900   | 2600       | 800              | 2100  | 1800  | 900              | 2600       | 800   | 2100             | 1800  | 900   |       |  |  |
| 3                               | Maksymalna moc nadawana na sektor [dBm]                        | 52,04                             | 46,02 | 53,01 | 53,01            | 46,02 | 52,04      | 46,02            | 53,01 | 53,01 | 46,02            | 52,04      | 46,02 | 53,01            | 53,01 | 46,02 |       |  |  |
| II                              | Obciążenie:  |                                   |       |       |                  |       |            |                  |       |       |                  |            |       |                  |       |       |       |  |  |
| 1                               | Typ anteny   | Huawei ATR4518R6                  |       |       | Huawei ATR4518R6 |       |            | Huawei ATR4518R6 |       |       | Huawei ATR4518R6 |            |       | Huawei ATR4518R6 |       |       |       |  |  |
| 2                               | Producent anteny   | Huawei                            |       |       | Huawei           |       |            | Huawei           |       |       | Huawei           |            |       | Huawei           |       |       |       |  |  |
| 3                               | Ilość anten  | 1                                 |       |       | 1                |       |            | 1                |       |       | 1                |            |       | 1                |       |       |       |  |  |
| 4                               | Azymut   | 60                                |       |       |                  |       | 180        |                  |       |       |                  | 300        |       |                  |       |       |       |  |  |
| 5                               | Zakres kątów pochylenia anten [°]                              | 0,00-10,00                        |       |       |                  |       | 0,00-10,00 |                  |       |       |                  | 0,00-10,00 |       |                  |       |       |       |  |  |
| 6                               | Wysokość zainstalowania n.p.t. [m] (środek elektryczny anteny) | 60,00                             |       |       |                  |       | 60,00      |                  |       |       |                  | 60,00      |       |                  |       |       |       |  |  |
| 7                               | EIRP [W]   | 12174                             |       |       | 23701            |       |            | 12174            |       |       | 23701            |            |       | 12174            |       |       | 23701 |  |  |

Tabela 2. Anteny radioliniowe - dane otrzymane od klienta

| Charakterystyka promieniowania  |                  |                           |                     | kierunkowa       |                     |            |  |
|---------------------------------|------------------|---------------------------|---------------------|------------------|---------------------|------------|--|
| Rzeczywisty czas pracy [h/dobę] |                  |                           |                     | 24               |                     |            |  |
| Rodzaj wytwarzanego pola        |                  |                           |                     | stacjonarne      |                     |            |  |
| Lp.                             | Linia radiowa    |                           |                     | Antena           |                     |            |  |
|                                 | typ/producent    | częstotliwość pracy [GHz] | moc wyjściowa [dBm] | typ/producent    | średnica anteny [m] | azymut [°] | wysokość zainstalowania n.p.t. [m] (środek elektryczny anteny) |
| 1                               | OPTIX RTN/HUAWEI | 80                        | 18                  | VHLP1-80/Andrew  | 0,3                 | 137        | 60,00  |
| 2                               | OPTIX RTN/HUAWEI | 23                        | 21                  | VHLPX2-23/Andrew | 0,6                 | 354        | 60,00  |

## 6. Wyniki pomiarów.

Wyniki pomiarów pól elektromagnetycznych dla celów ochrony środowiska przedstawia poniższa tabela. Piony pomiarowe zostały przedstawione w zał. 2.

| Nr PP | Pole-E [V/m] | Pole-E+U [V/m] | Pole-H [A/m] | Pole-H+U [A/m] | Wysokość pomiaru [m] | Współrzędne PP x, y              | Opis PP  | WM <sub>E</sub> | WM <sub>H</sub> |
|-------|--------------|----------------|--------------|----------------|----------------------|----------------------------------|--|-----------------|-----------------|
| 1     | 1,4          | 2,23           | 0,004        | 0,006          | 0,3 - 2,0            | 52°52'20.83" N<br>20°34'53.63" E | otoczenie stacji bazowej - 100 m wzdłuż gł. osi promieniowania - GKP | 0,081           | 0,081           |
| 2     | 1,3          | 2,07           | 0,003        | 0,005          | 0,3 - 2,0            | 52°52'22.4" N<br>20°34'58.3" E   | otoczenie stacji bazowej - 200 m wzdłuż gł. osi promieniowania - GKP | 0,075           | 0,075           |

„Bez pisemnej zgody Laboratorium niniejsze sprawozdanie nie może być powielane inaczej, jak tylko w całości. Ponadto wyniki dotyczą tylko badanych obiektów przywołanych w niniejszym sprawozdaniu z badań”

| Nr PP | Pole-E [V/m] | Pole-E+U [V/m] | Pole-H [A/m] | Pole-H+U [A/m] | Wysokość pomiaru [m] | Współrzędne PP x, y              | Opis PP  | WM <sub>E</sub> | WM <sub>H</sub> |
|-------|--------------|----------------|--------------|----------------|----------------------|----------------------------------|--|-----------------|-----------------|
| 3     | 0,9          | 1,43           | 0,002        | 0,004          | 0,3 - 2,0            | 52°52'23.96" N<br>20°35'2.98" E  | otoczenie stacji bazowej - 300 m wzdłuż gł. osi promieniowania - GKP | 0,052           | 0,052           |
| 4     | 0,9          | 1,43           | 0,002        | 0,004          | 0,3 - 2,0            | 52°52'25.53" N<br>20°35'7.65" E  | otoczenie stacji bazowej - 400 m wzdłuż gł. osi promieniowania - GKP | 0,052           | 0,052           |
| 5     | 1,0          | 1,59           | 0,003        | 0,004          | 0,3 - 2,0            | 52°52'27.1" N<br>20°35'12.33" E  | otoczenie stacji bazowej - 500 m wzdłuż gł. osi promieniowania - GKP | 0,058           | 0,058           |
| 6     | 0,9          | 1,43           | 0,002        | 0,004          | 0,3 - 2,0            | 52°52'28.67" N<br>20°35'17.01" E | otoczenie stacji bazowej - 600 m wzdłuż gł. osi promieniowania - GKP | 0,052           | 0,052           |
| 7     | 1,5          | 2,39           | 0,004        | 0,006          | 0,3 - 2,0            | 52°52'16.03" N<br>20°34'48.86" E | otoczenie stacji bazowej - 100 m wzdłuż gł. osi promieniowania - GKP | 0,087           | 0,087           |
| 8     | 1,5          | 2,39           | 0,004        | 0,006          | 0,3 - 2,0            | 52°52'12.79" N<br>20°34'48.76" E | otoczenie stacji bazowej - 200 m wzdłuż gł. osi promieniowania - GKP | 0,087           | 0,087           |
| 9     | 1,1          | 1,75           | 0,003        | 0,005          | 0,3 - 2,0            | 52°52'9.56" N<br>20°34'48.67" E  | otoczenie stacji bazowej - 300 m wzdłuż gł. osi promieniowania - GKP | 0,064           | 0,064           |
| 10    | 0,9          | 1,43           | 0,002        | 0,004          | 0,3 - 2,0            | 52°52'3.09" N<br>20°34'48.48" E  | otoczenie stacji bazowej - 500 m wzdłuż gł. osi promieniowania - GKP | 0,052           | 0,052           |
| 11    | 1,0          | 1,59           | 0,003        | 0,004          | 0,3 - 2,0            | 52°51'59.85" N<br>20°34'48.39" E | otoczenie stacji bazowej - 600 m wzdłuż gł. osi promieniowania - GKP | 0,058           | 0,058           |
| 12    | 1,4          | 2,23           | 0,004        | 0,006          | 0,3 - 2,0            | 52°52'20.93" N<br>20°34'44.37" E | otoczenie stacji bazowej - 100 m wzdłuż gł. osi promieniowania - GKP | 0,081           | 0,081           |
| 13    | 1,2          | 1,91           | 0,003        | 0,005          | 0,3 - 2,0            | 52°52'22.59" N<br>20°34'39.78" E | otoczenie stacji bazowej - 200 m wzdłuż gł. osi promieniowania - GKP | 0,070           | 0,070           |
| 14    | 1,1          | 1,75           | 0,003        | 0,005          | 0,3 - 2,0            | 52°52'24.26" N<br>20°34'35.2" E  | otoczenie stacji bazowej - 300 m wzdłuż gł. osi promieniowania - GKP | 0,064           | 0,064           |
| 15    | 0,9          | 1,43           | 0,002        | 0,004          | 0,3 - 2,0            | 52°52'25.92" N<br>20°34'30.62" E | otoczenie stacji bazowej - 400 m wzdłuż gł. osi promieniowania - GKP | 0,052           | 0,052           |
| 16    | 0,9          | 1,43           | 0,002        | 0,004          | 0,3 - 2,0            | 52°52'27.59" N<br>20°34'26.04" E | otoczenie stacji bazowej - 500 m wzdłuż gł. osi promieniowania - GKP | 0,052           | 0,052           |
| 17    | 0,8          | 1,28           | 0,002        | 0,003          | 0,3 - 2,0            | 52°52'29.26" N<br>20°34'21.45" E | otoczenie stacji bazowej - 600 m wzdłuż gł. osi promieniowania - GKP | 0,046           | 0,046           |
| 18    | 1,4          | 2,23           | 0,004        | 0,006          | 0,3 - 2,0            | 52°52'18.08" N<br>20°34'50.77" E | otoczenie stacji bazowej - 50 m wzdłuż gł. osi promieniowania - GKP  | 0,081           | 0,081           |
| 19    | 1,1          | 1,75           | 0,003        | 0,005          | 0,3 - 2,0            | 52°52'16.89" N<br>20°34'52.6" E  | otoczenie stacji bazowej - 100 m wzdłuż gł. osi promieniowania - GKP | 0,064           | 0,064           |
| 20    | 1,4          | 2,23           | 0,004        | 0,006          | 0,3 - 2,0            | 52°52'20.87" N<br>20°34'48.67" E | otoczenie stacji bazowej - 50 m wzdłuż gł. osi promieniowania - GKP  | 0,081           | 0,081           |
| 21    | 1,0          | 1,59           | 0,003        | 0,004          | 0,3 - 2,0            | 52°52'22.48" N<br>20°34'48.39" E | otoczenie stacji bazowej - 100 m wzdłuż gł. osi promieniowania - GKP | 0,058           | 0,058           |
| 22    | 0,9          | 1,43           | 0,002        | 0,004          | 0,3 - 2,0            | 52°52'17.8" N<br>20°34'44.4" E   | otoczenie stacji bazowej - PKP                                       | 0,052           | 0,052           |
| A     | 1,2          | 1,91           | 0,003        | 0,005          | 0,3 - 2,0            | 52°52'11.4" N<br>20°34'48.9" E   | ul. Monte Cassino 59, pomiar przy ogrodzeniu - DPP                   | 0,070           | 0,070           |
| B     | 1,3          | 2,07           | 0,003        | 0,005          | 0,3 - 2,0            | 52°52'11.4" N<br>20°34'47.9" E   | ul. Monte Cassino 61, pomiar przy ogrodzeniu - DPP                   | 0,075           | 0,075           |
| C     | 1,1          | 1,75           | 0,003        | 0,005          | 0,3 - 2,0            | 52°52'07.3" N<br>20°34'48.5" E   | ul. H. Kuny bez numeru, pomiar przy ogrodzeniu - DPP                 | 0,064           | 0,064           |
| D     | 0,9          | 1,43           | 0,002        | 0,004          | 0,3 - 2,0            | 52°52'06.6" N<br>20°34'48.9" E   | ul. H. Kuny 11, pomiar przy ogrodzeniu - DPP                         | 0,052           | 0,052           |
| E     | 0,9          | 1,43           | 0,002        | 0,004          | 0,3 - 2,0            | 52°52'03.2" N<br>20°34'48.1" E   | ul. Biegasa 4, pomiar przy ogrodzeniu - DPP                          | 0,052           | 0,052           |
| F     | 0,8          | 1,28           | 0,002        | 0,003          | 0,3 - 2,0            | 52°52'03.0" N<br>20°34'49.7" E   | ul. Biegasa 2, pomiar przy ogrodzeniu - DPP                          | 0,046           | 0,046           |

Wynik pomiaru pole - E [V/m] - maksymalna wartość chwilowa zmierzona w danym pionie pomiarowym (uśredniona na podstawie punktu 11 Rozporządzenia Ministra Zdrowia).

Przyjęto najniższą dopuszczalną wartość składowej elektrycznej pola dla objętego pomiarami zakresu częstotliwości  $\min(ME_{gr}) = 28 \text{ V/m}$  oraz składowej magnetycznej  $\min(MH_{gr}) = 0,073 \text{ A/m}$ .

\* - wartość zmierzona poniżej zakresu akredytacji. Do obliczeń przyjęto wartość zgodną z dolną granicą akredytowanego zakresu pomiarowego metody.

„Bez pisemnej zgody Laboratorium niniejsze sprawozdanie nie może być powielane inaczej, jak tylko w całości. Ponadto wyniki dotyczą tylko badanych obiektów przywołanych w niniejszym sprawozdaniu z badań”

GKP - główne kierunki pomiarowe  
PKP - pomocnicze kierunki pomiarowe  
DPP - dodatkowe punkty pomiarowe  
PP - pion pomiarowy  
U - niepewność pomiarowa rozszerzona, przy poziomie ufności 95%, z uwzględnieniem współczynnika rozszerzenia  $k=2$   
 $WM_E$  - wartość wskaźnikowa poziomu emisji pól elektromagnetycznych dla miejsc dostępnych dla ludności dla składowej elektrycznej pola  
 $WM_H$  - wartość wskaźnikowa poziomu emisji pól elektromagnetycznych dla miejsc dostępnych dla ludności dla składowej magnetycznej pola

## 7. Stwierdzenie zgodności

Na podstawie wytycznych podanych w Rozporządzeniu Ministra Zdrowia z dnia 17 grudnia 2019 r. w sprawie dopuszczalnych poziomów pól elektromagnetycznych w środowisku (Dz.U. 2019 poz. 2448) oraz sposobów sprawdzania dotrzymania tych poziomów zgodnie z Rozporządzeniem Ministra Klimatu z dnia 17 lutego 2020 r. w sprawie sposobów sprawdzania dotrzymania dopuszczalnych poziomów pól elektromagnetycznych w środowisku (Dz.U. 2020 poz. 258) oraz Rozporządzeniem Ministra Klimatu i Środowiska z dnia 6 maja 2022 r. zmieniającego rozporządzenie w sprawie sposobów sprawdzania dotrzymywania dopuszczalnych poziomów pól elektromagnetycznych w środowisku (Dz.U. 2022 poz. 1121), dotyczących źródła wymagań, które muszą być spełnione, w oparciu o zasadę podejmowania decyzji zgodną z pkt 26 Rozporządzenia Ministra Klimatu z dnia 17 lutego 2020 r. (Dz.U. 2020 poz. 258), na podstawie wyników pomiarów pól elektromagnetycznych wykonanych w dniu 2022-08-09 stwierdzono, iż w miejscach dostępnych dla ludności, dopuszczalne poziomy pól elektromagnetycznych w środowisku, określone w przepisach wydanych na podstawie art. 122 ust. 1 ustawy z dnia 27 kwietnia 2001 r. – Prawo ochrony środowiska, uznaje się za dotrzymane w obszarze pomiarowym, w którym w wyniku zastosowania sposobu sprawdzenia dotrzymania dopuszczalnych poziomów pól elektromagnetycznych w środowisku, udokumentowano, że żadna z wartości wskaźnikowych nie przekracza wartości 1.

## 8. Oświadczenie.

Wyniki badania odnoszą się wyłącznie do badanego obiektu.

Bez pisemnej zgody sprawozdanie nie może być powielane inaczej, jak tylko w całości.

Uwagi i zastrzeżenia przyjmowane są w formie pisemnej w ciągu 14 dni od daty otrzymania sprawozdania.

## 9. Spis załączników.

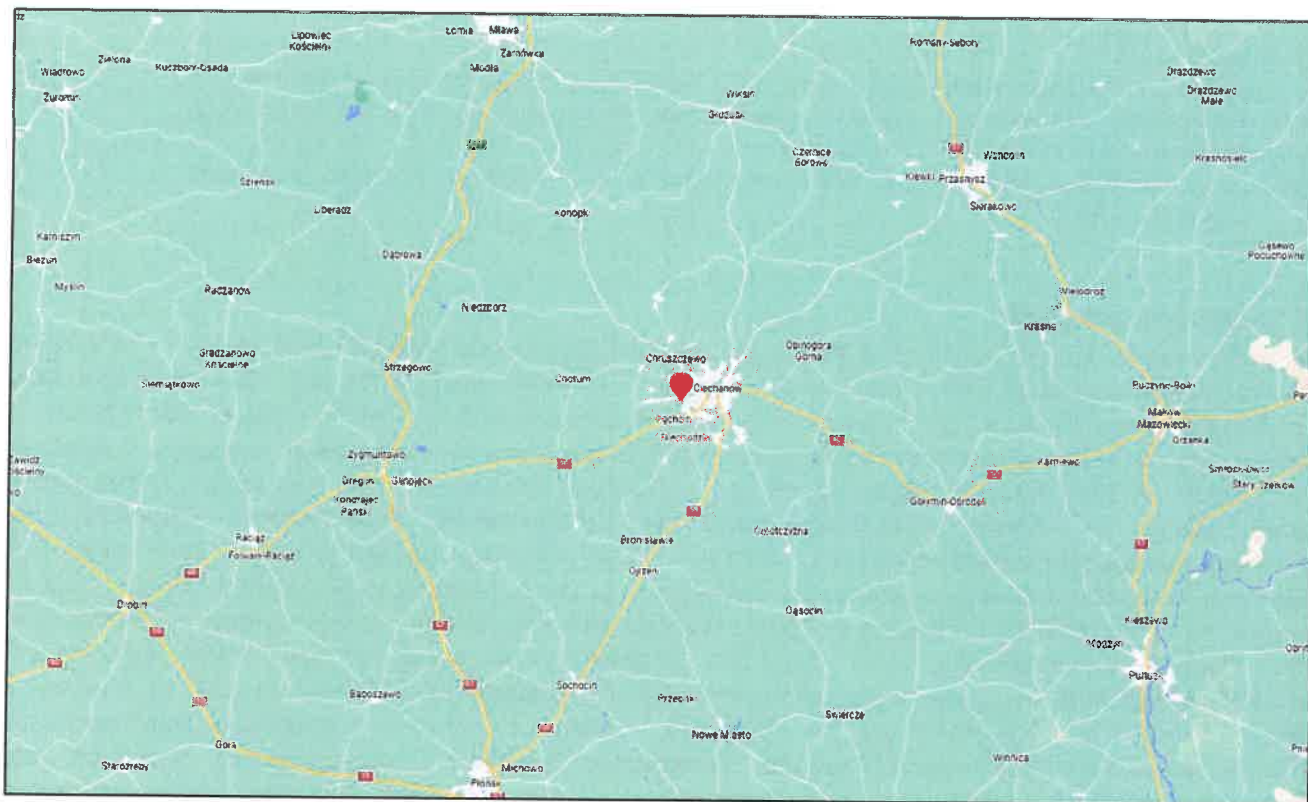
Zał. 1. Lokalizacja obiektu.

Zał. 2. Widok pionów pomiarowych

Zał. 3. Widok stacji bazowej

**Koniec sprawozdania**

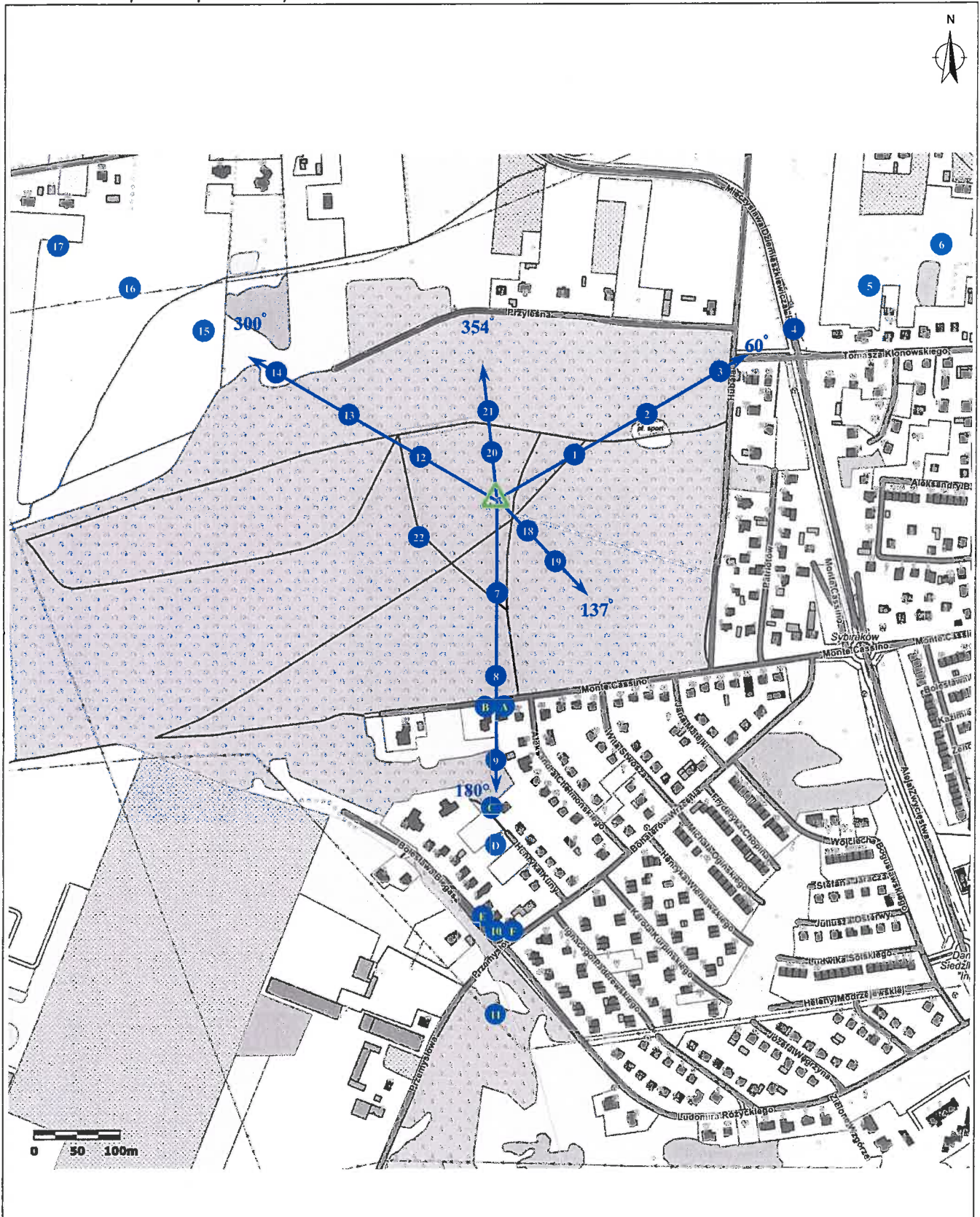
## Zał. 1. Lokalizacja obiektu



| Współrzędne geograficzne |               |
|--------------------------|---------------|
| szerokość:               | 52°52'19.15"N |
| długość:                 | 20°34'48.83"E |



Zał. 2. Widok pionów pomiarowych



|  |  |               |
|--|--|---------------|
| <b>LEGENDA:</b><br>inna instalacja radiokomunikacyjna<br>brak dostępu<br>pion pomiarowy<br>antena sektorowa<br>antena radioliniowa |  | Skala 1: 5000 |
|--|--|---------------|

„Bez pisemnej zgody Laboratorium niniejsze sprawozdanie nie może być powielane inaczej, jak tylko w całości. Ponadto wyniki dotyczą tylko badanych obiektów przywołanych w niniejszym sprawozdaniu z badań”

### Załącznik 3. Załączniki graficzne

